TiO₂/LaO-LaAlO₃ (001) 構造における電気輸送特性の膜厚依存性 Thickness dependent transport properties of TiO₂/LaO-LaAlO₃ (001) heterostructures

¹SLAC/スタンフォード大 ○簑原 誠人 ¹、疋田 育之 ¹、クリストファー・ベル ¹、ハロルド・ファン ¹

SLAC/Stanford University¹ OM. Minohara¹, Y. Hikita¹, C. Bell¹, H. Y. Hwang¹ E-mail: minohara@stanford.edu

極性不連続を有するペロブスカイト型酸化物へテロ界面においては、酸化物間の電荷移動やキャリア蓄積等の電子再構成に伴った新たな機能が発現する $^{[1,2]}$ 。これまで我々は、無極性酸化物アナターゼ型二酸化チタン($^{(1)}$ 02)/極性酸化物 $^{(2)}$ 1、極性酸化物 $^{(3)}$ 1、 $^{(2)}$ 2、一個性酸化物 $^{(3)}$ 3、 $^{(3)}$ 4、 $^{(3)}$ 5、 $^{(3)}$ 6、 $^{(3)}$ 6、 $^{(3)}$ 7、 $^{(3)}$ 7。しかしながら、その起源について未だ明瞭な知見は得られていない。発現した伝導キャリアの深さ分布に関する知見は、起源を明らかにする上で非常に有用な情報を与える。そこで今回我々は、金属伝導を示す $^{(3)}$ 7、 $^{(3)}$ 8、 $^{(4)}$ 9、 $^{(4)}$ 9、 $^{(5)}$ 9、 $^$

界面終端層制御した $TiO_2/LaAlO_3$ ヘテロ構造は、パルスレーザー堆積法により作製した。終端層制御は TiO_2 堆積前に LaO を一層、 AlO_2 終端化 $LaAlO_3$ (001) 基板に堆積させることにより行った。 TiO_2 薄膜の膜厚制御は、成膜中における高速電子回折像の強度振動観測により行った。 作製した 試料について、四端子測定による抵抗率測定およびホール測定を行った。

Figure 1 に、ホール測定より得られたシートキャリア密度 (N_{sheet}) の膜厚依存性を示す。膜厚増

加に伴って、 N_{sheet} の値が増加している様子が見て取れる。また、膜厚 116 nm までの直線外挿線は、膜厚 0 nm で $N_{\text{sheet}} = 0 \text{ cm}^{-2}$ と交差せず、約 20 nm で交差した。このことは、 TiO_2 薄膜内部にキャリアが失活した空乏領域が存在することを示唆している。全体の膜厚からこの空乏領域の厚さを差し引いた値を用いてキャリア密度に換算したところ、キャリア密度は膜厚に依らず一定であることを見出した (Fig. 1 挿入図)。以上の結果は、 $TiO_2/\text{LaO-LaAlO}_3(001)$ へテロ構造における伝導キャリアは、空乏領域を除くバルク全体に広がりを持つことを示すものである。

[1] A. Ohtomo and H. Y. Hwang, Nature **427**, 423 (2004). [2] H. Yamada *et al.*, Appl. Phys. Lett. **89**, 052506 (2006). [3] 簑原 他、第 58 回春季応用物理学会講演予稿集 (2011).

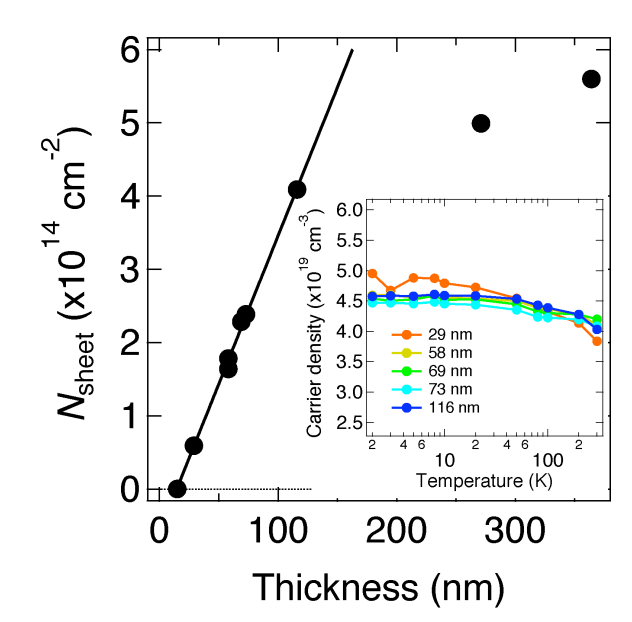


Figure 1. Thickness dependent sheet carrier density (N_{sheet}). The line shows the best linear fit between 29 nm to 116 nm. The inset shows the carrier density of $\text{TiO}_2/\text{LaO-LaAlO}_3$ (001) heterostructures for various thickness.